

# بررسی کارایی کربن فعال تهیه شده از هسته خرما در جذب سیانید از فاضلاب سنتتیک

بهمن رمانندی<sup>۱</sup>، بهنام باریک‌بین<sup>۲</sup>، قربان عسگری<sup>۳</sup>، حسین قائدی<sup>۴</sup>

## چکیده

**زمینه و هدف:** هسته خرما به دلیل در دسترس بودن و هزینه بسیار کم یک ماده اولیه مفید در تهیه کربن فعال می‌باشد. سیانید، به دلیل داشتن خواص سمی برای انسان و موجودات آبی، یکی از معضلات مهم بهداشتی محسوب می‌شود. هدف از انجام این تحقیق، بررسی حذف سیانید از محیط آبی و پارامترهای مؤثر بر آن، به وسیله کربن فعال تهیه شده از هسته خرما بود. **روش تحقیق:** در این مطالعه تجربی، کربن فعال، با استفاده از کوره الکتریکی در دمای  $750^{\circ}\text{C}$  و زمان ۱۰۰ دقیقه تهیه شد. تأثیر pH (۱۲-۲)، غلظت سیانید (۱۰۰ تا  $300\text{mg/L}$ ) و دوز کربن فعال (۰/۲۵ تا  $2\text{g/L}$ ) بر فرآیند جذب سیانید مورد بررسی قرار گرفت. هر یک از آزمایشات، سه بار تکرار و میانگین درصد حذف ارائه شد. **یافته‌ها:** جذب با مدل لانگمویر، با حداکثر ظرفیت جذب  $50/21\text{mg/g}$  هم‌خوانی بیشتری داشت. ارزیابی سینتیکی نشان داد که جذب سیانید به جاذب، به طور واضح، از واکنش درجه دو کاذب تبعیت می‌نماید. جذب سیانید به جاذب مورد مطالعه، وابسته به pH بود و حداکثر جذب، از محلول با pH برابر ۹ به دست آمد. در pH بهینه ۹، بیش از ۹۷٪ سیانید، از محلول با غلظت  $100\text{mg/L}$  و دوز جاذب  $1/25\text{g/L}$  طی زمان تماس ۴۰ دقیقه حذف گردید. **نتیجه‌گیری:** کربن فعال تهیه شده از هسته خرما، یک جاذب کارآمد و کم هزینه برای حذف غلظت‌های مختلف سیانید از آب و فاضلاب است.

**واژه‌های کلیدی:** سیانید، جذب، هسته خرما، ایزوترم، سینتیک.

مجله علمی دانشگاه علوم پزشکی بیرجند. ۱۳۹۱؛ ۱۹ (۴): ۳۹۹-۴۰۸

دریافت: ۱۳۹۱/۰۷/۰۵ پذیرش: ۱۳۹۱/۱۰/۱۷

<sup>۱</sup> استادیار، گروه مهندسی بهداشت محیط، دانشکده بهداشت، دانشگاه علوم پزشکی بوشهر، بوشهر، ایران.

<sup>۲</sup> عضو مرکز تحقیقات عوامل اجتماعی مؤثر بر سلامت، استادیار گروه بهداشت، دانشگاه علوم پزشکی بیرجند، بیرجند، ایران.

<sup>۳</sup> نویسنده مسؤؤل، استادیار، گروه مهندسی بهداشت محیط، دانشکده بهداشت، دانشگاه علوم پزشکی همدان، همدان، ایران.

آدرس: همدان - روبروی پارک مردم - دانشگاه علوم پزشکی همدان - دانشکده بهداشت - گروه مهندسی بهداشت محیط.

تلفن: ۰۸۱۱۸۳۸۰۰۲۵-۲۶، نامبر: ۰۸۱۱ ۸۳۸۰۵۰۹، پست الکترونیکی: Asgari@umsha.ac.ir

<sup>۴</sup> مربی، گروه بهداشت عمومی، دانشکده بهداشت، دانشگاه علوم پزشکی بوشهر، بوشهر، ایران

## مقدمه

سیانید، یک ترکیب بسیار سمّی است که از طریق پساب صنایعی نظیر آبکاری فلزی، الکترونیک، کود شیمیایی و استخراج معادن، وارد محیط زیست می‌شود (۱، ۲). سیانید، جزء آلاینده‌های مقدّم لیست‌شده توسط Comprehensive Environmental Response, Compensation, and Liability Act (CERCLA) است (۳) و دارای اثرات زیانباری بر انسان و سایر موجودات زنده است (۴)؛ بنابراین مقرّرات زیست‌محیطی، ایجاب می‌نماید که مقدار سیانید فاضلاب‌ها قبل از تخلیه به محیط، به کمتر از  $0.2\text{mg/L}$  کاهش یابد (۲).

مهمترین روش‌های مورد استفاده برای حذف سیانید از محیط‌های آبی شامل: تصفیه بیولوژیکی، ازن‌زنی و تصفیه با مواد شیمیایی می‌باشد. اغلب این روش‌ها دارای معایب متعدّدی نظیر هزینه بالا، حجم زیاد مواد مورد نیاز و عدم حذف کامل سیانید هستند (۵). از میان این روش‌ها، فرآیند جذب، یک روش کارآمد است که کاربرد گسترده‌ای در حذف انواع آلاینده‌ها دارد. کربن فعال، به دلیل سطح جذب زیاد و حجم خلل و فرج، به عنوان یک جاذب مؤثر، در فرآیند جذب کاربرد گسترده‌ای دارد، اما قیمت بالای نوع تجاری آن به دلیل ماده اولیه آن، باعث افزایش هزینه کاربرد آن شده است (۵)؛ به همین دلیل تحقیقات گسترده‌ای، به منظور استفاده از ماده اولیه ارزان برای تهیه کربن فعال، در حال انجام است. این مواد اولیه شامل زایدات کشاورزی است که می‌توان به پوست نارگیل و هسته زیتون اشاره نمود (۵). سیستم‌های جذب معمولاً دارای بهره‌برداری راحتی هستند؛ از سمّیت آلاینده هدف تأثیر نمی‌پذیرند و نیاز به مواد شیمیایی خطرناک ندارند؛ به علاوه در این روش، آلاینده جذب‌شده را می‌توان مورد بازیافت قرار داد. همان طور که مطالعات نشان داده است، کربن فعال تهیه‌شده از هسته خرما، در حذف آفت‌کش‌ها، بنتازون و کربوفوران، کاربرد مؤثری داشته است (۶، ۷).

در زمینه تولید خرما، ایران بعد از کشور مصر مهم‌ترین تولیدکننده محسوب می‌شود. در کشور ما نیز، استان بوشهر یکی از استان‌های مطرح در زمینه تولید خرما است؛ به طوری که سالانه حدود  $135663/6$  تن، در این استان خرما تولید می‌شود. بخش عمده‌ای از این مقدار، در صنایع تبدیلی و بسته‌بندی به کار می‌رود. از آنجا که  $10\%$  وزن خرما را هسته آن تشکیل می‌دهد، مقدار هسته خرما تولیدشده، قابل توجه می‌باشد و با توجه به این موضوع، در این تحقیق از هسته خرما دفعی در کارخانجات محلی، برای تهیه کربن فعال استفاده شده است. هدف از این تحقیق، بررسی عملکرد کربن فعال به دست‌آمده از هسته خرما در حذف سیانید از فاضلاب است. تأثیر پارامترهای مختلف مانند: pH محلول، دوز جاذب، غلظت اولیه سیانید و زمان تماس، بر راندمان جذب سیانید مورد آزمایش قرار گرفته است؛ همچنین ایزوترم‌ها و سینتیک‌های جذب بعد از تعیین شرایط بهینه بررسی شده است.

## روش تحقیق

## آماده‌سازی جاذب

در این تحقیق تجربی، هسته خرما به صورت خام، از کارخانه‌های شیرینی‌سازی محلی در سطح شهر بوشهر تهیه شد و جهت تولید کربن فعال مورد استفاده قرار گرفت. برای آماده‌سازی هسته‌های خرما، ابتدا لایه فیبری موجود بر سطح آن، با چاقو برداشته شد و سپس چند بار با آب آشامیدنی و با آب مقطر شستشو داده شده و در نهایت با استفاده از آون، در دمای  $110^\circ\text{C}$  به مدت ۲۴ ساعت خشک شد. هسته‌های خرما خشک‌شده، با استفاده از آسیاب برقی و الک‌های استاندارد، خرد و دانه‌بندی شد. جهت کربنیزه کردن نمونه‌ها، از یک راکتور آهنی زنگ‌نزن ( $2/5\text{cm}$  قطر  $\times$   $10\text{cm}$  طول) استفاده گردید. یک طرف راکتور، کاملاً بسته و طرف دیگر آن دارای درپوش بود و در وسط آن، سوراخی به اندازه ۲ میلی‌متر (جهت خروج گازهای حاصل از پیرولیز) ایجاد شده

باقیمانده اندازه‌گیری شد. بررسی تأثیر زمان تماس و غلظت اولیه سیانید، با استفاده از غلظت‌های مختلف (۱۰۰ تا ۳۰۰ میلی‌گرم بر لیتر) انجام شد. این مرحله از مطالعه، با توجه به نتایج مرحله اول، در دمای ثابت اتاق و سرعت اختلاط ۱۲۰ دور در دقیقه انجام گرفت. برای بررسی تأثیر دوز جذب، غلظت اولیه سیانید، ۱۰۰ میلی‌گرم بر لیتر با دوز جذب در محدوده ۰/۲۵ تا ۲ گرم بر لیتر و pH اولیه برابر ۹، مورد بررسی قرار گرفت. در هر مرحله، ظرفیت جذب با معادله یک تعیین شد.

$$q_e = \frac{(C_0 - C_e)V}{M} \quad \text{معادله ۱:}$$

در این رابطه:

$q_e$ : سیانید جذب‌شده در واحد جذب (mg/g)

$C_0$ : غلظت اولیه سیانید (mg/L)

$C_e$ : غلظت تعادلی سیانید بعد از برقراری تعادل (mg/L)

$V$ : حجم مایع در داخل راکتور (L)

$M$ : جرم جذب (g)

در این مطالعه، بعد از تعیین زمان تماس مناسب، دوز جذب و pH جذب، مشخصه‌های مرتبط با ایزوترم جذب آلاینده موردنظر بر روی جذب تعیین گردید. میزان انطباق داده‌های تجربی تعادل جذب با مدل‌های ایزوترم جذب فروندلیچ، لانگمویر و تمکین (معادلات ۲-۴)، بررسی شد

$$\frac{C_e}{q_e} = \frac{1}{Q_{\max} b} + \frac{C_e}{Q_{\max}} \quad \text{معادله ۲:}$$

$$\log q_e = \log k + \frac{1}{n} \log C_e \quad \text{معادله ۳:}$$

$$q_e = B \ln K_t + B \ln C_e \quad \text{معادله ۴:}$$

در این معادلات،  $Q_{\max}$  ظرفیت جذب یک لایه‌ای (mg/g)،  $T$  دمای مطلق (°K) و  $R$  ثابت عمومی گازها (۸/۳۱۴ J/mol.K) می‌باشد. در معادله ۴،  $B$  ثابت تمکین است و با حرارت جذب (J/mol) مرتبط است و  $K_t$  ثابت ایزوترم تمکین (L/g) می‌باشد.

بود. راکتور حاوی هسته‌های خرما خشک‌شده، در کوره قرار داده شد و سپس دمای آن، با میزان ثابت ۱۰°C/min افزایش داده شد تا اینکه دما، به ۷۵°C رسید. کل زمان کربنیزه‌کردن، ۱۰۰ دقیقه بود. در پایان زمان فعال‌سازی، نمونه‌های کربنیزه‌شده، از کوره برداشته شده و در دمای اتاق خنک شدند (۶).

برای اصلاح و فعال‌سازی شیمیایی، محصول کربن فعال به دست آمده، در محلول سود، به مدت ۲۴ ساعت بر روی شیکر اریتالی (3017 GFL) با سرعت ۱۲۰ rpm قرار داده شد. پس از سپری‌شدن این زمان، کربن فعال، از محلول سود جدا و به مدت ۱۲ ساعت، در دمای ۱۰۵°C خشک شد. مجدداً کربن فعال، مطابق روش ارائه‌شده توسط Hameed و همکارانش (۶)، در دمای ۸۵°C با میزان حرارت ۱۰°C/min در کوره قرار داده شد. به محض اینکه دما به ۸۵°C رسید، به جای جریان گاز نیتروژن، از گاز دی‌اکسیدکربن استفاده شد و این روند تا ۲ ساعت ادامه داشت. بعد از خنک‌شدن کربن فعال در دمای اتاق، نمونه‌ها با اسید هیدروکلریک ۰/۱ مولار و سپس با آب مقطر (تا رسیدن pH آب حاصل از شستشو به حدود ۷) شستشو داده شد (۸-۱۰).

### روش آزمایش

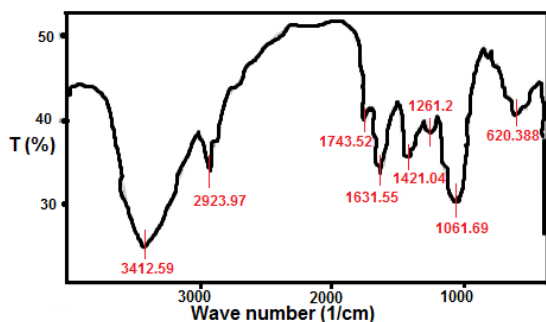
بعد از تهیه جذب، ابتدا محلول مادر ۱۰۰۰ میلی‌گرم بر لیتر سیانید، از سیانید سدیم تهیه شده و سپس محلول‌های استاندارد با غلظت‌های مختلف (۱۰۰ تا ۳۰۰ میلی‌گرم بر لیتر) تهیه شدند و مورد بررسی قرار گرفتند. جذب سیانید بر روی کربن فعال تهیه‌شده، در سیستم ناپیوسته با استفاده از ارلن‌های ۲۵۰ میلی‌لیتری و بررسی تأثیر پارامترهای pH، غلظت اولیه سیانید، دوز جذب و زمان تماس، در دمای اتاق (۲۴±۲°C) انجام گرفت. جهت بررسی تأثیر pH بر فرآیند جذب سیانید، نمونه‌هایی با pH اولیه ۲-۱۲، غلظت سیانید ۱۰۰ میلی‌گرم بر لیتر و دوز جذب ۱/۲۵ گرم بر لیتر، تهیه شده و بعد از اختلاط به مدت ۴۰ دقیقه، غلظت سیانید

جذب گاز ازت، سطح ویژه کربن فعال حدوداً  $1089 \text{ m}^2/\text{g}$  تعیین گردید.

جدول ۱- مشخصات فیزیکی کربن فعال تهیه شده از هسته خرما

پارامتر	کربن فعال
فعال شده با BET ( $\text{m}^2/\text{g}$ )	هیدروکسید سدیم ۱۰۸۹
$\text{pH}_{\text{zpc}}$	۵/۳
کل خاکستر (%)	۱/۶۳
حجم کل روزنه‌ای ( $\text{cm}^3/\text{g}$ )	۰/۰۰۱۳
قطر متوسط روزنه‌ای (nm)	۰/۶۷

جهت شناسایی گروه‌های عاملی موجود بر سطح جاذب، آنالیز FTIR جاذب تهیه شد که نمودار آن در شکل ۱ قابل مشاهده است.



شکل ۱- طول موج FTIR کربن فعال اصلاح شده با هیدروکسید سدیم در طول موج‌های  $4500$  تا  $400 \text{ cm}^{-1}$

جهت بهینه‌سازی میزان جذب سیانید، آزمایش‌های جذب، در دامنه pH های ۲-۱۲ انجام گرفت. همان‌طور که در شکل ۲ نشان داده شده است، با افزایش pH از ۲ تا ۹، راندمان حذف سیانید، از ۷۹ درصد به ۹۷ درصد افزایش یافته است و حداکثر حذف، در pH برابر ۹ حاصل شده است. نتایج نشان می‌دهد، جذب سیانید توسط کربن فعال تهیه شده، تابع pH است.

سینتیک جذب، با آنالیز مدل‌های سینتیک درجه یک و دو کاذب بررسی شد. معادله خطی سینتیک درجه یک کاذب، عموماً به شکل معادله ۵ ارائه می‌شود.

$$\log(q_e - q_t) = \log(q_e) - \frac{k_1}{2.203} t \quad \text{معادله ۵}$$

همچنین معادله خطی سینتیک جذب درجه دو کاذب به صورت معادله ۶ بیان می‌شود.

$$\frac{t}{q_t} = \frac{1}{k_2 q_e^2} + \frac{1}{q_e} t \quad \text{معادله ۶}$$

در سینتیک درجه یک و دو کاذب، پارامترهای  $K_1$  و  $K_2$ ، ضریب ثابت  $(1/\text{min})$  و  $q_e$ ، ظرفیت جذب در حالت تعادل ( $\text{mg}/\text{g}$ ) می‌باشد. سینتیک درجه یک، از رسم منحنی  $\log(q_e - q_t)$  در مقابل  $t$  و سینتیک درجه دو نیز از رسم در مقابل  $t$ ، محاسبه می‌شوند (۱۲). به منظور تعیین بهترین ایزوترم و سینتیک جذب، ضریب همبستگی مدل‌های برازش شده مقایسه شد.

### روش آنالیز

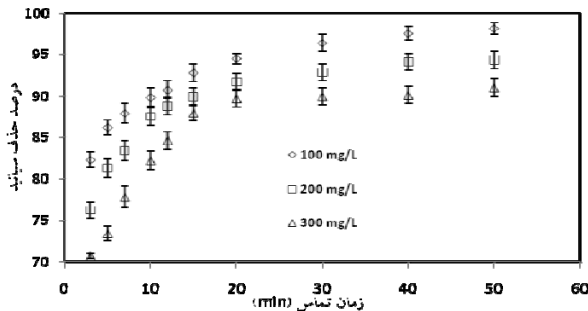
سنجش غلظت سیانید در نمونه‌های استاندارد و تصفیه شده، با استفاده روش از 4500-CN-D کتاب استاندارد متد انجام شد (۹). سیانید سدیم، از شرکت  $\frac{t}{q_t}$  آلدریج و بقیه مواد استفاده شده، از شرکت مرک آلمان تهیه شدند.  $\text{pH}_{\text{zpc}}$ ، براساس روش ارائه شده توسط عسگری و همکاران تعیین شد (۱۰). آزمایش‌های جذب، با سه بار تکرار انجام شده و میزان جذب بر اساس میانگین نتایج و انحراف معیار داده‌ها گزارش شد. تجزیه و تحلیل داده‌ها توسط نرم‌افزار Excel انجام شد.

### یافته‌ها

در جدول یک، مشخصات فیزیکی کربن فعال تهیه شده، نشان داده شده است. بر اساس محاسبات انجام شده با نرم‌افزار Belsorp و با استفاده از ایزوترم BET و میزان

<sup>۱</sup> pH of zero point charge

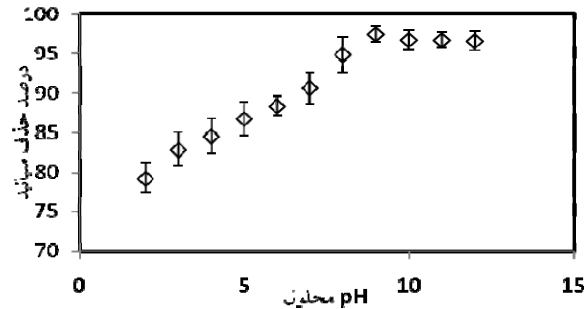
سیانید، مورد بررسی قرار گرفت. همان طور که در شکل ۴ نتایج نشان داده شده است، میزان جذب سیانید در واحد جرم جذب، با افزایش زمان جذب افزایش یافته است و در کلیه غلظت‌های به کار رفته، حداکثر حذف، در زمان تماس ۴۰ دقیقه حاصل شده است.



شکل ۴- تأثیر غلظت‌های اولیه سیانید بر درصد حذف آن توسط کربن فعال اصلاح‌شده با هیدرواکسید سدیم (pH اولیه محلول ۹، دوز جذب ۱/۲۵g/L، زمان تماس ۶۰ دقیقه)

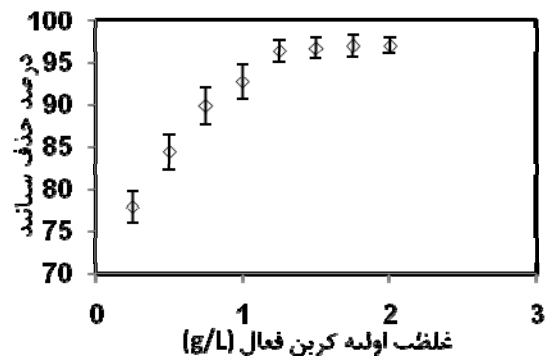
برای تعیین ایزوترم جذب سیانید توسط کربن فعال، از مدل‌های جذب لانگمویر، فروندلیچ و تمکین (معادلات ۲-۴) استفاده شد. نتایج این مطالعه در جدول ۲ آورده شده است. جذب سیانید، با توجه به ضریب همبستگی مدل‌های جذب استفاده شده و مقایسه میزان ظرفیت جذب تجربی (۴۹/۳۱mg/g) با ظرفیت جذب محاسبه‌شده از مدل‌ها، (Q<sub>Calc</sub>) نشان می‌دهد، جذب سیانید با هسته خرما از مدل لانگمویر تبعیت می‌کند.

نتایج مطالعه سینتیک جذب سیانید بر روی جاذب مورد مطالعه، نشان داد که جذب سیانید، از سینتیک جذب درجه دو کاذب تبعیت می‌کند. نتایج برازش داده‌ها با مدل سینتیک درجه دو در شکل ۵ ارائه شده است.



شکل ۲- تأثیر pH بر راندمان حذف سیانید توسط کربن فعال اصلاح‌شده با هیدرواکسید سدیم (دوز کربن فعال ۱/۲۵g/L، غلظت اولیه سیانید ۱۰۰mg/L، زمان تماس ۴۰ دقیقه)

نتایج حاصل از بررسی تأثیر دوز جاذب بر راندمان حذف سیانید، در شکل ۳ نشان داده شده است. نتایج شکل ۳ نشان می‌دهد، با افزایش جرم جذب از ۰/۲۵ گرم تا ۱/۲۵ راندمان حذف سیانید از ۷۶ درصد به ۹۷ درصد افزایش یافته است، اما در مقادیر بالاتر از میزان ۱/۲۵ گرم از جاذب، راندمان جذب، ثابت باقی مانده است.



شکل ۳- تأثیر دوز جاذب بر راندمان حذف سیانید (pH اولیه محلول ۹، غلظت اولیه سیانید ۱۰۰mg/L، زمان تماس ۴۰ دقیقه)

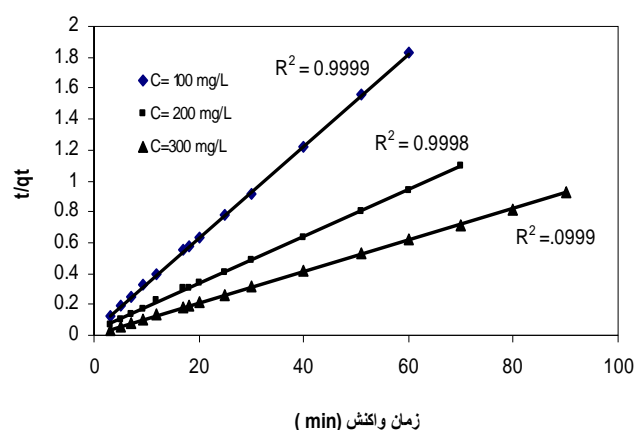
در ادامه مطالعه، تأثیر زمان تماس در غلظت‌های مختلف

جدول ۲- ثابت‌های ایزوترم فروندلیچ، لانگمویر و تمکین جذب سیانید بر روی کربن فعال

تمکین			فروندلیچ		لانگمویر			
R <sup>2</sup>	K <sub>t</sub>	Q <sub>Calc</sub>	R <sup>2</sup>	1/n	Q <sub>Calc</sub>	R <sup>2</sup>	b	Q <sub>Calc</sub>
۰/۹۵۱۵	۲/۱۱	۲۷/۶	۰/۹۸۰۴	۰/۵۲۱	۵/۰۶	۰/۹۹۶۴	۰/۲۳۳	۵۰/۲۱

بار الکتریکی مثبت می‌باشد. سیانید هیدروژن، در pH قلیایی کاملاً یونیزه شده و به شکل سیانید آزاد و یون هیدروژن تبدیل می‌شود. از آنجایی که در pH بالاتر از ۵/۳، سطح جاذب دارای بار الکتریکی منفی است و با توجه به خاصیت نوکلئوفیلیکی یون سیانید، جذب سیانید، به دلیل باندشدن سیانید آزاد با گروه‌های عاملی آنیونی موجود بر سطح جاذب، افزایش می‌یابد. افزایش  $pH_{zpc}$  از ۳/۶ به ۵/۳، نشان‌دهنده افزایش گروه‌های عاملی بازی در سطح کربن فعال تهیه شده می‌باشد؛ بنابراین می‌توان گفت که فرایند تبادل یون، مکانیزم برتر در جذب سیانید بر روی کربن فعال اصلاح شده می‌باشد. مطالعات انجام شده توسط Deveci در سال ۲۰۰۶ (۱۳) نشان داده است که در pH بالاتر از ۱۰، سیانید آزاد، گونه غالب است که دارای بار الکتریکی منفی است. مطالعات موسوی و همکارانش (۱۴) نشان داد که جذب سیانید در  $pH > pH_{zpc}$ ، از مکانیزم تبادل یونی تبعیت می‌کند.

نتایج ارزیابی تأثیر دوز جاذب، نشان داد که با افزایش جرم جاذب تا حدود ۱/۲۵ g/L، راندمان حذف سیانید و میزان سیانید جذب شده، افزایش یافته، اما در مقادیر بالاتر از ۱/۲۵g/L، افزایش میزان جاذب، تأثیری در میزان سیانید جذب شده و در نهایت راندمان جذب نداشته است. چنین نتایجی توسط Deveci و همکارانش در سال ۲۰۰۶ نیز تأیید شده است (۱۳). این محققین گزارش کرده‌اند که با افزایش دوز جاذب در محدوده ۳g/L، میزان جذب سیانید توسط کربن فعال ساده، از ۱۱ درصد به ۱۳ درصد افزایش یافته است؛ همچنین این محققین دوز ۳g/L از جاذب مطالعه شده را به عنوان دوز بحرانی معرفی کرده‌اند؛ زیرا افزایش میزان جاذب در مقادیر بیش از آن، تأثیری بر میزان جذب سیانید نداشته است. علت این پدیده، به غیراشباع ماندن برخی از نقاط فعال سطحی مرتبط است که نتیجه آن، کاهش میزان جذب است. عسگری و همکارانش (۱۰) گزارش کرده‌اند که عدم افزایش جذب در برابر افزایش دوز جاذب، در دوزهای بالاتر جاذب در واحد حجم محلول، به این دلیل است که در مقادیر جاذب



شکل ۵- سینتیک درجه دو کاذب جذب سیانید توسط کربن فعال به دست آمده از هسته خرما (pH اولیه محلول ۹، دوز جاذب ۱/۲۵g/L)

## بحث

با استفاده از ایزوترم BET و میزان جذب گاز ازت، سطح ویژه این جاذب ۱۰۸۹m<sup>2</sup>/g تعیین گردید (جدول ۱). این میزان سطح ویژه، نشان می‌دهد که جاذب مورد نظر، دارای سطح مناسب است و می‌تواند برای حذف آلاینده‌های زیست‌محیطی مورد استفاده قرار گیرد. همان طور که نتایج نشان می‌دهد، سطح ویژه، بعد از اصلاح افزایش یافته است. بر اساس آنالیز FTIR (شکل ۱)، می‌توان چنین استنباط کرد که وجود گروه‌های عاملی OH، گروه‌های عاملی C-H، COOH و SO<sub>3</sub>- در ساختار جاذب، یکی از مهمترین خصوصیات کربن فعال مورد مطالعه است که می‌تواند در میزان و شرایط جذب آلاینده‌هایی نظیر سیانید، تأثیر مهمی داشته باشد.

همان طور که در شکل ۲ نشان داده شده است، جذب سیانید توسط کربن فعال، به pH محیط بستگی دارد؛ به طوری که با افزایش pH از ۲ به ۹، میزان جذب از ۷۹ به ۹۷ درصد افزایش می‌یابد. علت این پدیده، به تأثیر pH بر بار سطحی جاذب و آلاینده جذب‌شونده مرتبط است. نتایج حاصل از بررسی  $pH_{zpc}$  نشان داد،  $pH_{zpc}$  کربن فعال، در محدوده ۵/۳ می‌باشد که در بالاتر از این نقطه، سطح جاذب مورد نظر دارای بار الکتریکی منفی و در پایین‌تر از آن، دارای

اصلاح شده با نقره ( $22/4 \text{ mg/g}$ ) و کربن فعال ساده ( $7 \text{ mg/g}$ )، دارای ظرفیت جذب بیشتری می باشد (۱۳، ۱۶). این نتایج نشان می دهد، فعال سازی کربن فعال با سود، باعث افزایش گروه های عاملی مؤثر در حذف سیانید در سطح کربن فعال شده و این افزایش گروه های عاملی مؤثر، باعث افزایش ظرفیت جذب جاذب، در مقایسه با سایر جاذب ها می شود. در این خصوص، نتایج مشابهی توسط Gupta و همکارانش در سال ۲۰۱۲ گزارش شده است (۱۷). این محققین گزارش نموده اند که جذب سیانید با استفاده کربن فعال تهیه شده از باگاس نیشکر، از ایزوترم لانگمویر تبعیت می کند و ظرفیت جذب جاذب های مورد استفاده، در محدوده  $10/6 - 1/94 \text{ mg/g}$  بوده است.

مقایسه نتایج این مطالعه با یافته های سایر محققین نشان داد که ظرفیت جذب کربن فعال مطالعه شده در این تحقیق، با ظرفیت جذب استفاده شده توسط Deveci و همکارانش (۱۳) متفاوت است، اما الگوی جذب و شرایط حاکم بر جذب، با نتایج مطالعه گوپتا و همکارانش (۱۷) مطابقت دارد. مطالعات دیگر گزارش کرده اند که جذب سیانید بر روی پیرولیت، از ایزوترم فرندلیچ تبعیت می کند که با نتایج این مطالعات متفاوت می باشد. این تفاوت در نوع مدل انطباقی، می تواند به خصوصیات سطحی جاذب های مطالعه شده مربوط گردد (۱۸).

مقایسه ضرایب همبستگی مدل های سینتیکی استفاده شده نشان داد که جذب سیانید بر روی کربن فعال، از سینتیک درجه دو کاذب پیروی می کند؛ به طوری که ضریب همبستگی مدل درجه دو ( $0/99$ ) بیشتر از درجه یک ( $0/97$ ) بود؛ به علاوه میزان ضریب همبستگی نتایج، نشان داد که میزان ظرفیت جذب  $q_e$  به دست آمده از مطالعات تجربی ( $18 \text{ mg/g}$ )، با  $q_e$  محاسبه شده از مدل سینتیک درجه دو ( $20 \text{ mg/g}$ ) تطابق بیشتری دارد؛ در صورتی که مقدار  $q_e$  محاسبه شده در سینتیک درجه یک، معادل  $10 \text{ mg/g}$  می باشد که با مقدار  $q_e$  تجربی مطابقت ندارد. مطالعات Dash و

بیشتر، همپوشانی سطح جاذب و تجمع جاذب اتفاق می افتد که برآیند آنها، کاهش سطح کل در دسترس و در نتیجه کاهش میزان جذب آلاینده می باشد؛ زیرا تجمع جاذب ها، باعث کاهش مسیر انتشار در طی مرحله انتشار آلاینده در سطوح قابل جذب می شود که نتیجه آن، کاهش میزان جذب خواهد بود؛ بنابراین براساس این مطالعه، دوز بهینه جاذب  $1/25 \text{ g/L}$  تعیین می گردد.

بررسی تأثیر زمان تماس نشان داد که میزان جذب سیانید در واحد جرم جاذب، با افزایش زمان جذب، افزایش یافته است. نتایج این مطالعه نشان داد که جذب سیانید توسط کربن فعال، در مدت زمان ۴۰ دقیقه به تعادل می رسد و زمان لازم برای رسیدن به تعادل، مستقل از غلظت اولیه سیانید می باشد. مطالعات Deveci و همکارانش در سال ۲۰۰۶ نشان داد که غلظت اولیه سیانید، به تدریج به سطح کربن فعال، جذب می گردد و روند رسیدن به مرحله تعادل، بسیار طولانی بوده است؛ به طوری که این محققین گزارش کرده اند، جذب سیانید در سطح این جاذب، ۴ ساعت به طول می انجامد (۱۳). نتایج مشابهی نیز توسط بهنام فرد و همکارانش در سال ۲۰۰۹ گزارش شده است (۱۵). این تفاوت در دستیابی به زمان تعادل جذب، به دلیل تأثیر خصوصیات سطحی کربن فعال تهیه شده از هسته خرما نظیر اندازه و حجم روزه ای، با سایر جاذب های مورد مطالعه می باشد. همان طور که شکل ۴ نشان می دهد، افزایش غلظت اولیه سیانید، منجر به کاهش راندمان حذف شده است. این پدیده، به این دلیل است که سطح جاذب، دارای نقاط مشخصی برای جذب آلاینده می باشد که با افزایش غلظت سیانید، نسبت سطح در دسترس به تعداد مول های آلاینده کمتر می گردد. نتایج مشابهی توسط Deveci و موسوی (۲۰۱۰) گزارش شده است (۱۳، ۱۴).

نتایج این مطالعه نشان داد که جذب سیانید، از مدل لانگمویر تبعیت می کند. بر اساس نتایج حاصله، پتانسیل جذب سیانید به کربن فعال،  $50/21 \text{ mg/g}$  می باشد. جاذب مورد مطالعه در مقایسه با جاذب هایی نظیر کربن فعال

افزایش pH، میزان جذب افزایش می‌یابد و pH بهینه جذب ۹ می‌باشد. میزان جذب با افزایش زمان تماس تا حدود ۴۰ دقیقه، افزایش و در مقادیر بالاتر از آن، تأثیری در جذب ندارد. جذب سیانید بر روی جاذب مورد مطالعه، از ایزوترم لانگمویر و سنتتیک درجه دو تبعیت می‌کند. با توجه به مقاومت فیزیکی بالاتر، قیمت ارزان ماده اولیه و دسترسی فراوان به این ماده، پیشنهاد می‌گردد، مطالعات گسترده‌تری بر روی این ماده، جهت توسعه حذف آلاینده‌های مختلف در تصفیه آب و فاضلاب انجام شود.

همکارانش (۱۹) نشان داد که هر چند ضریب همبستگی سینتیک سیانید، در مدل سنتتیک درجه یک و درجه دو تفاوت چندانی ندارد، اما مقایسه مقدار جذب تعادلی حاصله از آزمایشات نشان داد که سینتیک درجه یک، شرایط بهتری را برای جذب سیانید ارائه می‌کند که با یافته‌های این مطالعه متفاوت است.

## نتیجه‌گیری

براساس یافته‌های این مطالعه، کربن فعال تهیه‌شده از هسته خرما، پتانسیل مناسبی برای جذب سیانید دارد. با

## منابع:

- 1- Sirianuntapiboon S, Chuamkaew C. Packed cage rotating biological contactor system for treatment of cyanide wastewater. *Bioresour Technol.* 2007; 98 (2): 266-72.
- 2- Dash RR, Gaur A, Balomajumder C. Cyanide in industrial wastewaters and its removal: a review on biotreatment. *J Hazard Mater.* 2009; 163 (1): 1-11.
- 3- Agency for Toxic Substances and Disease Registry (ATSDR). CERCLA priority list of hazardous substances. 2007; Available at: <http://www.atsdr.cdc.gov/SPL/index.html>.
- 4- Dursun AY, Calik A, Aksu Z. Degradation of ferrous (II) cyanide complex ions by *Pseudomonas fluorescens*. *Process Biochem.* 1999; 34 (9): 901-8.
- 5- Baccar R, Bouzid J, Feki M, Montiel A. Preparation of activated carbon from Tunisian olive-waste cakes and its application for adsorption of heavy metal ions. *J Hazard Mater.* 2009; 162 (2-3): 1522-9.
- 6- Hameed BH, Salman JM, Ahmad AL. Adsorption isotherm and kinetic modeling of 2, 4-D pesticide on activated carbon derived from date stones. *J Hazard Mater.* 2009; 163 (1): 121-6.
- 7- Salman JM, Njoku VO, Hameed BH. Bentazon and carbofuran adsorption onto date seed activated carbon: Kinetics and equilibrium. *Chem Eng J.* 2011; 173 (2): 361-8.
- 8- Tan IAW, Hameed BH, Ahmad AL. Equilibrium and kinetic studies on basic dye adsorption by oil palm fibre activated carbon. *Chem Eng J.* 2007; 127 (1-3): 111-9.
- 9- Clesceri LS, Greenberg AE, Eaton AD. *Standard Methods for the Examination of Water and Wastewater.* 20<sup>th</sup> ed. APHA American Public Health Association: Washington D.C; 1079.
- 10- Asgari G, Roshani B, Ghanizadeh G. The investigation of kinetic and isotherm of fluoride adsorption onto functionalize pumice stone. *J Hazard Mater.* 2012; 217-218: 123-32.
- 11- Ahmadpour A, Tahmasbi M, Bastami TR, Besharati JA. Rapid removal of cobalt ion from aqueous solutions by almond green hull. *J Hazard Mater.* 2009; 166 (2-3): 925-31.
- 12- Rao MM, Ramana DK, Seshaiyah K, Wang MC, Chien SW. Removal of some metal ions by activated carbon prepared from *Phaseolus aureus* hulls. *J Hazard Mater.* 2009; 166(2-3): 1006-13.
- 13- Deveci H, Yazıcı EY, Alp I, Uslu T. Removal of cyanide from aqueous solutions by plain and metal-impregnated granular activated carbons. *Int J Miner Process.* 2006; 79 (3): 198-208.
- 14- Moussavi G, Khosravi R. Removal of cyanide from wastewater by adsorption onto pistachio hull wastes: parametric experiments, kinetics and equilibrium analysis. *J Hazard Mater.* 2010; 183(1-3): 724-30.



- 15- Behnamfard A, Salarirad MM. Equilibrium and kinetic studies on free cyanide adsorption from aqueous solution by activated carbon. *J Hazard Mater.* 2009; 170 (1): 127–33.
- 16- Adhoum N, Monser L. Removal of cyanide from aqueous solution using impregnated activated carbon. *Chem Eng Proc.* 2002; 41 (1): 17–21.
- 17- Gupta N, Balomajumder C, Agarwal VK. Adsorption of cyanide ion on pressmud surface: A modeling approach. *Chem Eng J.* 2012; 191(5): 548–56.
- 18- Saxena S, Prasad M, Amritphale SS, Chandra N. Adsorption of cyanide from aqueous solutions at pyrophyllite surface. *Sep Purif Technol.* 2001; 24 (1-2): 263–70.
- 19- Dash RR, Balomajumder C, Kumar A. Removal of cyanide from water and wastewater using granular activated carbon. *Chem Eng J.* 2009; 146 (3): 408–13.

## Efficacy evaluation of activated carbon prepared from date stones in cyanide adsorption from synthetic wastewater

Bahman Ramavandi<sup>1</sup>, Behnam Barikbin<sup>2</sup>, Ghorban Asgari<sup>3</sup>, Hossein Ghaedi<sup>4</sup>

**Background and Aim:** Availability and low cost of date stones make them useful as raw material in the preparation of activated carbon. Cyanide, because of its toxicity for humans and aquatic organisms, is one of the most important health problems. The aim of the present study was to evaluate cyanide removal from aqueous solutions and determine influencing parameters in its adsorption into activated carbon prepared from date stones.

**Materials and Methods:** In this experimental study, activated carbon was prepared by using an electrical furnace giving out 750°C temperature for 100 min. The effect of pH (2-12), cyanide concentration (100-300 mg/L) and activated carbon dosage (0.25-2 g/L) on the absorption process were explored. All experiments were conducted in triplicate and the mean absorption rate was reported.

**Results:** The maximum adsorption capacity of 50.21 mg/g corresponded with Langmuir model. Kinetic evaluation indicated that the adsorption of cyanide ions by the adsorbent clearly followed the pseudo-second order rate reaction. The adsorption was pH dependent and the maximum adsorption was done by solutions having pH 9. At an optimum pH 9, over 97% removal of 100 mg/L cyanide was attained for an adsorbent dose of 1.25 g/L during a 40 min contact time.

**Conclusion:** Activated carbon prepared from date stones is an efficient and low-cost adsorbent for removing of different concentrations of cyanide from water and wastewater.

**Key Words:** Cyanide, Adsorption, Date stone, Isotherm, Kinetic.

*Journal of Birjand University of Medical Sciences. 2013; 19 (4):399- 408*

*Received: September 26, 2012      Accepted: January 6, 2013*

<sup>1</sup> Assistant Professor, Department of Environmental Health Engineering, Faculty of Health, Bushehr University of Medical Sciences, Bushehr, Iran.

<sup>2</sup> Social determinants of Health Research Center member, Assistant Professor, Department of Environmental Health Engineering, Faculty of Health, Birjand University of Medical Sciences, Birjand, Iran.

<sup>3</sup> Corresponding Author, Assistant Professor, Department of Environmental Health Engineering, Faculty of Health, Hamadan University of Medical Sciences, Hamadan, Iran      Asgari@umsha.ac.ir

<sup>4</sup> Instructor, Department of Public Health, Faculty of Health, Bushehr University of Medical Sciences, Bushehr, Iran.